

ЛИТЕРАТУРА

1. А. Ван-дер-Зил. Флуктуации в радиотехнике и физике. М.—Л., ГЭИ, 1958.
2. А. А. Зенин. ФГВ. 1966, 2, 3, 67.

ГИСТЕРЕЗИСНЫЕ ЭФФЕКТЫ ГОРЕНИЯ В ОДНОМЕРНЫХ ГАЗОВЫХ ПОТОКАХ

Л. Ю. Артюх, Э. А. Закарин, В. П. Кацкаров,
С. М. Орлова

(Алма-Ата)

Неоднозначность стационарных состояний реагирующих систем и несовпадение условий воспламенения и потухания (гистерезис) изучались в камерах сгорания идеального смешения [1], в химических реакторах вытеснения [2], в точке торможения обтекаемого тела [3]. В настоящей работе приведены численные решения, относящиеся в основном к горению газа в ламинарном пограничном слое в одномерном приближении. Эти решения получены применительно к различным условиям тепло- и массообмена на границах и в широком интервале изменения параметров задачи. Особое внимание уделяется при этом малоизученному процессу — гистерезисному горению предварительно неперемешанных газов. По этому вопросу известна только работа [4], относящаяся к горению встречных струй топлива и окислителя.

Тепломассообмен в ламинарном трехкомпонентном, реагирующем по закону Аррениуса однородном потоке на пластине в области, далекой от передней кромки (в которой можно пренебречь изменением толщины пограничного слоя), можно моделировать системой обыкновенных дифференциальных уравнений

$$\left. \begin{aligned} \rho v &= 1, \\ \bar{p} &= \rho \Theta M \operatorname{Re} \bar{E}, \\ \operatorname{Re} u' &= u'' + 2P/\rho M, \\ \Theta'' - \operatorname{Pe} \Theta' + (\gamma - 1) M^2 \operatorname{Re}^{-1} (u')^2 + \theta \tau C_t C_o \exp(-1/\Theta) &= 0, \\ C_t' - \operatorname{Pe} C_t - \tau C_t C_o \exp(-1/\Theta) &= 0, \\ C_o' - \operatorname{Pe} C_o - \alpha^{-1} \tau C_t C_o \exp(-1/\Theta) &= 0. \end{aligned} \right\} \quad (1)$$

Здесь $\Theta = RT/E$ и u — безразмерные температура и продольная составляющая вектора скорости; C_t и C_o — удельные массовые концентрации топлива и окислителя. Комплексы $\operatorname{Pe} = v_o \delta_o / a_o$, $M = u_o / V \sqrt{RT_o}$, $\operatorname{Re} = v_o \delta_o / v_o$, $P = -\delta^2 \frac{dP}{dx} / 2 \mu_0 V \sqrt{RT_o}$, $\theta = Q C_t / R E C_p$, $\tau = k_o C_{o0} \delta_o^2 / \rho_o a_o$, $\alpha = \sigma C_{o0} / C_{t0}$, $\bar{E} = \frac{E}{2u_o v_o}$, в которых δ_o — толщина пограничного слоя, v_o — скорость вдува, u_o — скорость невозмущенного потока, составлены при помощи масштабных величин, выбираемых в соответствии с конкретно поставленной

задачей. Преобразование уравнений сжимаемого пограничного слоя к виду (1) осуществлено при использовании переменной Дородницына

$$\eta = 1/\delta_0 \int_0^y \rho/\rho_0 dy$$

и обычных для теории пограничного слоя допущений: $\text{Pr}=\text{Sm}=\text{const}$, $\mu\rho=\text{const}$, $C_p=\text{const}$. Кроме того, предполагалось, что в рассматриваемой области пламя распространяется параллельно границе пограничного слоя и обтекаемой поверхности. Отметим, что уравнения (1) достаточно универсальны и при соответствующих граничных условиях могут описывать, например, горение однородного потока газа, продуваемого через пористую пластину [5]. Нетрудно также учесть продольный перепад давления в пограничном слое, вдув реагента через проницаемую пластину и т. п.

Результаты расчетов по горению готовых топливных смесей обсуждались ранее в работах [5—7]. На рис. 1 представлены примеры численного решения различных вариантов поставленной общей задачи. Каждый из приведенных рисунков соответствует области гистерезисного горения, т. е. области, в которой возможны нижний (медленное окисление) и верхний (напряженное горение) стационарные уровни процесса. Промежуточные решения соответствуют неустойчивому состоянию. На рис. 1, а, б приводятся неоднозначные профили температуры Θ , концентрации и скорости реакции, являющиеся стационарными решениями задачи о дозвуковом изобарическом течении Куэтта, в котором неподвижная пластина соответственно теплоизолирована или поддерживается при заданной температуре. Течение Куэтта при сверхзвуковых скоростях (рис. 1, в) и с градиентом давления (рис. 1, г) моделирует гистерезисные явления в ламинарном подслое на поверхности обтекаемых тел. О возможности неоднозначных стационарных состояний в течениях на проницаемой поверхности и в проточных реакторах свидетельствуют решения, приведенные соответственно на рис. 1, д, е.

Таким образом, независимо от гидродинамических условий проте-

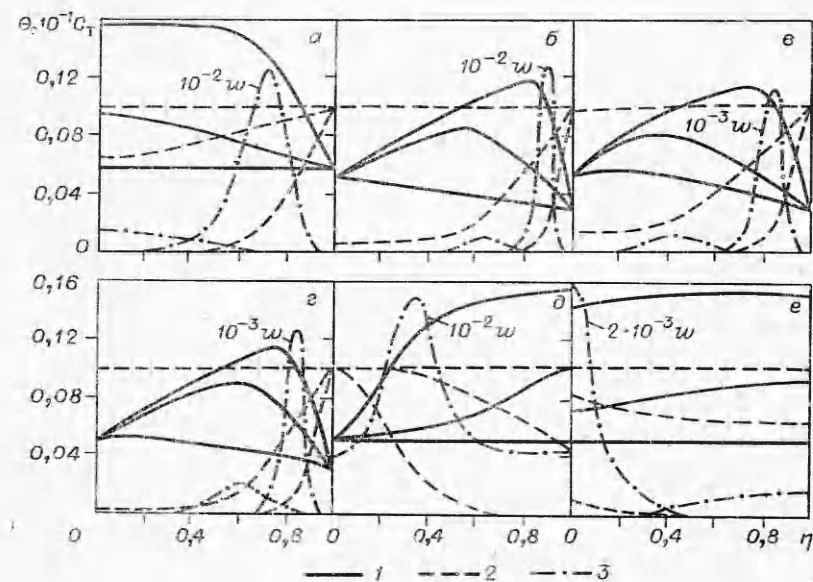


Рис. 1. Профили температуры Θ (1), концентрации топлива C_t (2) и скорости реакции w (3) для различных вариантов в условиях неоднозначности стационарных состояний.

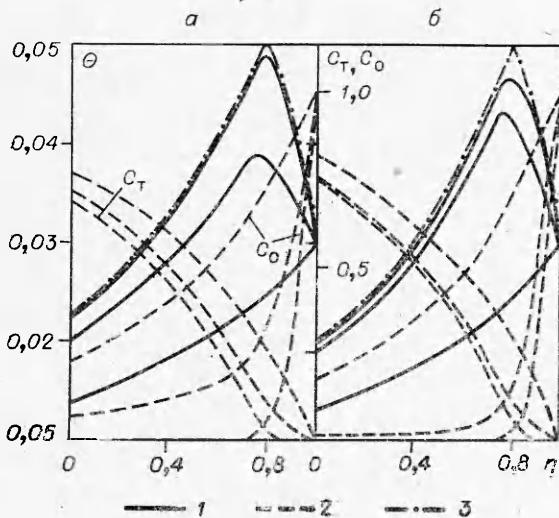


Рис. 2. Распределение температуры (1), концентраций топлива и окислителя (2) в пограничном слое при раздельном подводе реагентов: топливо вдувается в поток окислителя; $\vartheta=0,1$, $\Theta_\delta=0,03$, $\Theta^0=0,01$, $\alpha=\sigma_{\Theta_\delta}/C_T^0=1,4$.

3 — приближение тонкого пламени $\tau=0,35 \cdot 10^{13}$, $Pe=1,5$ (а), $Pe=1,7$ (б).

тальное подтверждение в исследованиях химических реакторов [2], в некоторых из них [8] даже промежуточные неустойчивые состояния были реализованы в специальных опытах.

Остановимся подробнее на результатах расчета диффузионного горения. В этом случае в качестве масштабных величин выбираются параметры невозмущенного потока (со значком δ), скорость v^0 и концентрация топлива C_T^0 вдуваемого газа. Уравнения (1) решаются при граничных условиях

$$\Theta' = Pe(\Theta - \Theta^0), \quad C'_T = Pe(C_T - 1), \quad C'_o = Pe C_o, \quad (2)$$

учитывающих скорость подачи топлива через поверхность проницаемой пластины. Известно, что задачи такого типа решаются обычно с использованием предположения о бесконечной скорости реакции в тонком фронте пламени (метод Бурке—Шумана). Из сопоставления профилей температуры и концентрации, полученных численным решением задачи (1), (2) и приближенно — по методу Бурке—Шумана, видно (рис. 2 и 3), что в области, далекой от потухания, профили для верхнего уровня процесса очень хорошо соответствуют приближению тонкого пламени.

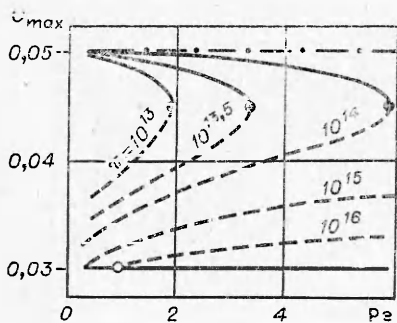


Рис. 3. Гистерезисные зависимости максимальной температуры от скорости вдува топлива и предэкспонента τ (светлая точка — воспламенение, темные точки — потухание); $\vartheta=0,1$, $\Theta_\delta=0,30$, $\Theta^0=0,01$, $\alpha=1,4$.

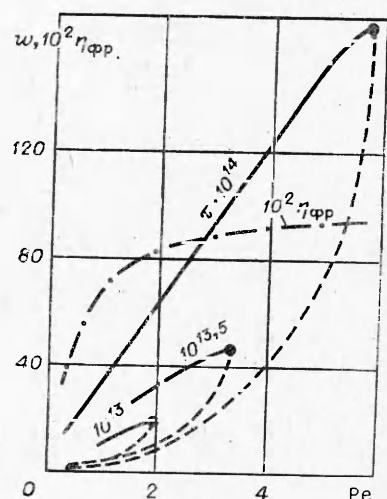
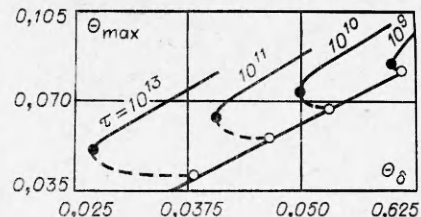


Рис. 4. Зависимость максимальной скорости горения ω и местоположения пламени η_{frp} от числа Pe ; $\vartheta=0,1$, $\Theta_\delta=0,03$, $\Theta^0=0,01$, $\alpha=1,4$.

Рис. 5. Гистерезисные кривые изменения максимальной температуры в пограничном слое в зависимости от температуры невозмущенного потока Θ_δ и τ ; $\vartheta=0,1$, $\Theta^0=0,01$, $a=1,4$, $Pe=1$.



В районе же потухания различие по температуре может достигать 10% и, следовательно, в пламени будет неполное выгорание реагентов. Это различие, как видно из гистерезисных кривых на рис. 3, практически не зависит от времени реакции горения: увеличение предэкспонента τ сдвигает область потухания в сторону больших скоростей подачи газа через пластину, но не изменяет в этой области температуру пламени. В отличие от температуры реагирующего газа скорость горения очень сильно зависит от τ и Pe . При увеличении Pe скорость горения (определенная, как известно, скоростью подачи реагентов) растет до тех пор, пока не будут исчерпаны потенциальные возможности реакции и не произойдет срыв пламени (рис. 4). При этом потухание происходит в момент, когда горение стабилизируется на внешней границе пограничного слоя.

Как видно из условия (2), на непроницаемой для реагента поверхности ($Pe=0$) горение отсутствует и задача (1), (2) имеет лишь триадиальное решение. В отличие от горения перемешанных реагентов [6] воспламенить газовую смесь путем уменьшения числа Pe можно только при очень больших τ ($\sim 10^{16}$). Более универсальны в этом плане тепловые факторы, например, температура невозмущенного потока Θ_δ . Как видно из рис. 5, варьируя этот параметр, легко добиться как условий воспламенения, так и потухания в пограничном слое.

В заключение отметим, что двумерные уравнения тепломассопереноса в приближении пограничного слоя не описывают гистерезисные эффекты горения [9]. Одномерные уравнения, использованные в данной статье, свободны от указанных ограничений, поэтому для этих уравнений существует область неоднозначных решений.

Поступила в редакцию
20/IX 1977

ЛИТЕРАТУРА

- Л. А. Вулис. Тепловой режим горения. М.—Л., ГЭИ, 1954.
- В. Главачек. Неединственные и автоколебательные режимы в катализических химических процессах. Препринт. Минск, 1977.
- H. W. Smith, R. A. Schmitz, R. G. Ladd. Combustion Science and Technology. 1971, 4, 131.
- F. E. Fendell. J. Fluid Mech., 1965, 21, 2, 281.
- Л. Ю. Артюх, Э. А. Закарин и др.— В сб.: Тепломассообмен. Т. 11. Минск, 1976.
- Л. Ю. Артюх, Э. А. Закарин и др.— В сб.: Прикладная и теоретическая физика. Вып. 7. Алма-Ата, 1976.
- Л. Ю. Артюх, Э. А. Закарин и др. ФГВ, 1977, 13, 2, 189.
- J. Ausikaitis, A. J. Enqel. AIChE J., 1974, 20, 2, 256.
- Л. Ю. Артюх, Э. А. Закарин. ФГВ, 1977, 13, 4.